

УДК 621.315.592

## ИССЛЕДОВАНИЕ КРАЕВОГО ПОГЛОЩЕНИЯ СВЕТА В ЛЕГИРОВАННОМ GaAs ПРИ КОМНАТНОЙ ТЕМПЕРАТУРЕ

Гуревич С. А., Федорович А. Е., Федоров А. В.

В образцах GaAs *n*- и *p*-типа ( $T=300$  К) измерены зависимости спектров оптического пропускания от интенсивности падающего света, когда энергия квантов накачки  $\hbar\omega < E_g$  (GaAs). При увеличении интенсивности накачки в диапазоне  $I=(1 \div 5 \cdot 10^8)$  Вт/см<sup>2</sup> наблюдалось частичное просветление образцов: при больших мощностях уровни нелинейного пропускания был на 3–15 % больше, чем в линейном режиме. Наблюданное просветление объясняется экранированием электрон-примесного и электрон-электронного взаимодействий свободными носителями заряда, полученными при оптической накачке полупроводника. В разностных спектрах поглощения  $\delta\alpha = \alpha - \alpha_0$  ( $\alpha$  и  $\alpha_0$  — линейный и нелинейный спектры поглощения соответственно) при энергиях кванта  $\hbar\omega < E_g$  обнаружены узкие максимумы, которые для образцов *n*-GaAs обусловлены оптическими переходами из валентной зоны на доноры, а для *p*-GaAs — переходами акцептор—зона проводимости. Рассмотрено влияние эффектов сужения зоны Мосса—Бурштейна и изменения энергии ионизации примеси на вид разностных спектров при различных концентрациях примеси.

Для физики полупроводников и прикладных задач оптоэлектронники большой интерес представляет энергетическая структура легированных материалов. Одним из методов ее изучения является измерение краевого поглощения света. Однако интерпретация экспериментальных результатов, полученных при комнатных температурах, сопряжена с серьезными трудностями. Они обусловлены тем, что в полный коэффициент поглощения  $\alpha$  при энергиях фотонов  $\hbar\omega < E_g$  ( $E_g$  — ширина запрещенной зоны) дают вклад несколько одновременно действующих механизмов. В зависимости от типа легирования это могут быть переходы из валентной зоны на донорные уровни, с акцепторных уровней в зону проводимости [1], с акцепторных уровней на донорные [2]. В коэффициент поглощения вносят вклад также переходы в состояния связанных экситона [3] и межзонные процессы, при которых дефицит энергии  $\Delta = E_g - \hbar\omega > 0$  компенсируется за счет поглощения фоновых [4] или кинетической энергии свободных носителей заряда [5]. Ситуация еще больше осложняется тем, что на  $\alpha$  оказывают влияние такие концентрационные эффекты, как сужение запрещенной зоны [6], эффект Бурштейна—Мосса [7, 8], экранирование примесного и электрон-электронного взаимодействий [9, 10].

Межзонные процессы, которые вносят основной вклад в краевое поглощение при комнатной температуре, в значительной степени маскируют особенности поглощения, связанные с примесными и экситонными уровнями. В связи с этим представляет интерес задача об исключении из  $\alpha$  вклада от межзонных процессов  $\alpha_m$ . Ее решение позволило бы на основе изучения разностного спектра  $\Delta\alpha = \alpha - \alpha_m$  сделать вывод о существовании в запрещенной зоне полупроводника связанных электронных и экситонных состояний и проследить за их изменением в зависимости от уровня легирования материала.

В нашей работе предлагается для решения этой задачи использовать эффект экранирования электрон-примесного и электрон-электронного взаимодействий неравновесными носителями заряда, полученными в результате оптической

накачки полупроводника светом с  $\hbar\omega < E_g$ .<sup>1</sup> Известно (см., например, [11, 12]), что, начиная с некоторой концентрации свободных носителей, в одиночном экранированном кулоновском потенциале не могут существовать связанные электронные состояния. Следовательно, при достаточно больших интенсивностях света накачки исчезнут дискретные примесные и экситонные уровни, а также их вклад в полный коэффициент поглощения. Поэтому измеренный для таких интенсивностей спектр нелинейного поглощения  $\alpha_n$  будет приблизительно совпадать со спектром  $\alpha_m$ . Совпадение тем точнее, чем слабее зависимость  $\alpha_m$  от интенсивности света. Если теперь из обычного (линейного) спектра поглощения  $\alpha$  вычесть  $\alpha_n$ , то в полученной величине  $\delta\alpha = \alpha - \alpha_n \approx \Delta\alpha$  вклад от межзонных процессов будет в значительной степени компенсирован. Так как в случае оптической накачки с  $\hbar\omega < E_g$  источником неравновесных носителей

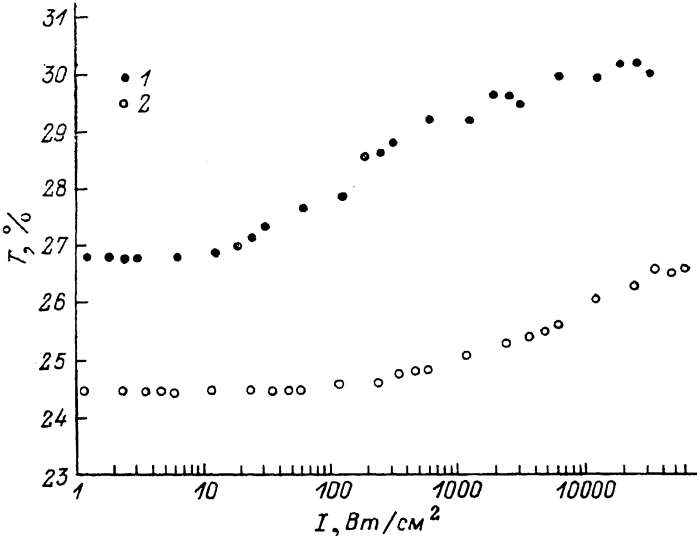


Рис. 1. Зависимость пропускания образцов *n*- и *p*-GaAs от интенсивности падающего света (300 К).

1 —  $n=6.2 \cdot 10^{16}$ , толщина образца 40 мкм,  $\hbar\omega = 1.395$  эВ. 2 —  $p=5.0 \cdot 10^{17}$ , толщина образца 75 мкм,  $\hbar\omega = 1.385$  эВ.

являются маскирующие межзонные механизмы поглощения, то на зависимости  $\delta\alpha$  от интенсивности света  $I$  должна иметь место характерная ступенька насыщения.

В нашей работе исследовался край поглощения GaAs *n*- и *p*-типа при комнатной температуре. В экспериментах в качестве источника света использовался полупроводниковый гетеролазер, работавший в импульсном режиме с длительностью импульса  $\tau_i \approx 100$  нс. Излучение фокусировалось на образец в пятно размером 3–100 мкм при помощи оптической системы. Плотность падающей мощности  $I$  варьировалась фильтрами в пределах  $1 \div 5 \cdot 10^5$  Вт/см<sup>2</sup>. Спектральное положение линии перестраивалось в диапазоне  $\hbar\omega \approx 1.37 \div 1.41$  эВ за счет изменения температуры лазерного диода. Приемником излучения служил фотодиод, помещенный за образцом.

Экспериментальные образцы представляли собой пластинки GaAs ориентации (100), толщиной 30–100 мкм, легированные Te или Zn. Концентрации свободных носителей заряда, измеренные методом Холла, лежали в диапазоне:  $n=6.2 \cdot 10^{16} \div 2.8 \cdot 10^{18}$  см<sup>-3</sup> (Te),  $p=1.5 \cdot 10^{17} \div 4.8 \cdot 10^{18}$  см<sup>-3</sup> (Zn). На обе поверхности пластинок наносились антиотражающие покрытия из  $Si_3N_4$ , что позволяло уменьшить коэффициент отражения до  $\approx 1\%$ . Тем самым устраивались

<sup>1</sup> Необходимые для экранирования концентрации неравновесных свободных носителей могут быть созданы и другими способами, например за счет инжекции или межзонной генерации электронно-дырочных пар источником света с  $\hbar\omega > E_g$ .

интерференционные эффекты, а также влияние света, отраженного от образца, на работу лазера.

Для определения линейного и нелинейного коэффициентов поглощения в указанной ранее спектральной области были измерены зависимости пропускания  $T$  от интенсивности падающего на образец света  $I$  при разных энергиях

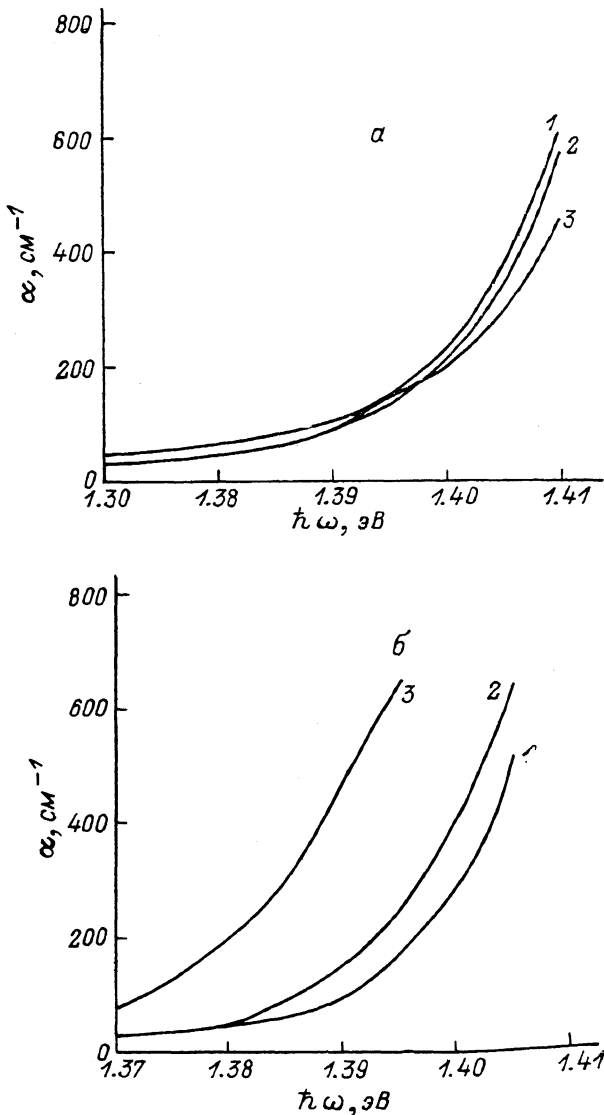


Рис. 2. Спектры краевого поглощения  $n$ -GaAs (a) и  $p$ -GaAs (б) при различных уровнях легирования (300 К).

a) 1 —  $n=6.2 \cdot 10^{18} \text{ см}^{-3}$ , 2 —  $n=4.7 \cdot 10^{17} \text{ см}^{-3}$ , 3 —  $n=2.8 \cdot 10^{18} \text{ см}^{-3}$ . б) 1 —  $p=1.5 \cdot 10^{17} \text{ см}^{-3}$ , 2 —  $p=5.0 \cdot 10^{17} \text{ см}^{-3}$ , 3 —  $p=1.8 \cdot 10^{18} \text{ см}^{-3}$ .

кванта накачки. На рис. 1 в качестве примера приведены такие зависимости для двух образцов  $n$ - и  $p$ -GaAs. Видно, что в диапазоне  $I=10 \div 10^5 \text{ Вт/см}^2$  имеет место просветление материала (пропускание растет с увеличением интенсивности). Для всех образцов, за исключением двух наиболее сильно легированных с  $n=2.8 \cdot 10^{18} \text{ см}^{-3}$  и  $p=4.8 \cdot 10^{18} \text{ см}^{-3}$ , на кривых  $T(I)$  отчетливо наблюдались три характерных участка. При малых интенсивностях света пропускание было постоянным (это соответствует линейному поглощению):  $T=T_0$ . Затем с ростом  $I$  происходило нелинейное увеличение  $T$ , но, начиная с некоторого значения интенсивности  $I_0$ , зависевшего от энергии кванта света, типа

и уровня легирования образца, пропускание, достигая насыщения, снова становилось постоянным:  $T = T_n > T_s$ . Глубина просветления  $T_n - T_s$  для всех образцов  $n$ - и  $p$ -типа в рассматриваемой спектральной области не превышала 15 % от  $T_s$ .

Полученные зависимости позволяют предположить, что имеются две группы механизмов краевого поглощения света. К первой относятся процессы, внося-

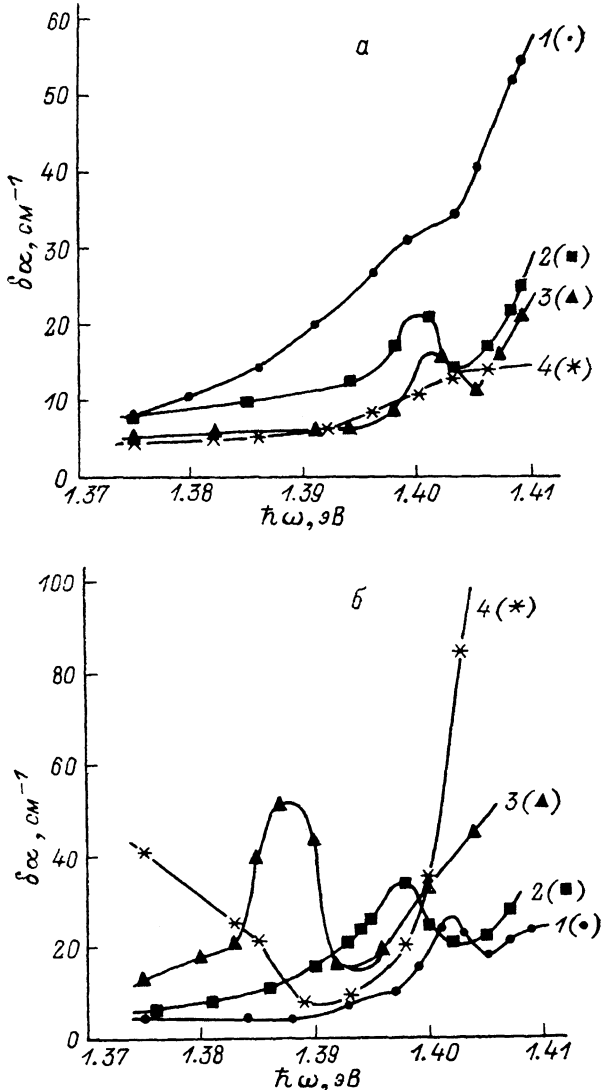


Рис. 3. Спектры  $\delta\alpha = \alpha - \alpha_0$  для образцов  $n$ -GaAs (a) и  $p$ -GaAs (б) при различных уровнях легирования (300 К).

а) 1 —  $n = 6.2 \cdot 10^{16} \text{ см}^{-3}$ , 2 —  $n = 1.6 \cdot 10^{17} \text{ см}^{-3}$ , 3 —  $n = 4.7 \cdot 10^{17} \text{ см}^{-3}$ , 4 —  $n = 2.8 \cdot 10^{18} \text{ см}^{-3}$ . б) 1 —  $p = 1.5 \cdot 10^{17} \text{ см}^{-3}$ , 2 —  $p = 5.0 \cdot 10^{17} \text{ см}^{-3}$ , 3 —  $p = 1.8 \cdot 10^{18} \text{ см}^{-3}$ , 4 —  $p = 4.8 \cdot 10^{18} \text{ см}^{-3}$ .

щие в поглощение главный вклад, причем его величина практически не зависит от  $I$ . Ко второй группе принадлежат насыщающиеся с ростом  $I$  механизмы поглощения.

Было установлено, что с ростом энергии фотонов  $\hbar\omega$  уменьшается величина интенсивности  $I_0$ , при которой пропускание принимает значение  $T_s$ . Это свидетельствует о том, что просветление обусловлено неравновесными свободными носителями заряда, так как с ростом  $\hbar\omega$  увеличивается скорость их генерации. Перечисленные выше особенности зависимости пропускания от  $I$  и  $\hbar\omega$  позволяют сделать вывод о том, что главным механизмом наблюдаемой нелинейно-

сти является экранирование электрон-примесного и электрон-электронного взаимодействий, в результате которого в запрещенной зоне исчезают связанные экситонные состояния и дискретные уровни, обусловленные отдельными примесными атомами. Данный вывод подтверждается также и тем, что для наиболее легированных образцов, исследованных в экспериментах, ступенька просветления не наблюдалась. Это объясняется тем, что в указанных случаях концентрации равновесных свободных носителей заряда достаточны для полного экранирования насыщающихся механизмов поглощения.

Очевидно, что коэффициенты поглощения  $\alpha$  и  $\alpha_n$  для участков линейного и насыщенного нелинейного пропускания можно определить из  $T_x$  и  $T_n$  с помощью обычной формулы, связывающей  $\alpha$  и  $T$ ,

$$\alpha = \frac{1}{d} \ln \frac{(1-R)^2}{T_x}, \quad \alpha_n = \frac{1}{d} \ln \frac{(1-R)^2}{T_n},$$

где  $d$  — толщина образца,  $R$  — коэффициент отражения на поверхности.

На рис. 2 приведены спектры линейного поглощения образцов GaAs. Спектры  $\alpha(\hbar\omega)$  имеют вид монотонных кривых и хорошо согласуются с результатами, полученными в работах [13, 14]. Во всей области примесных концентраций в линейных спектрах отсутствует дискретная структура. Это объясняется тем, что при комнатной температуре главным механизмом краевого поглощения света являются межзонные переходы. Кроме того, при высоких уровнях легирования из-за экранирования равновесными свободными носителями заряда нет связанных экситонных и примесных уровней.

На рис. 3 приведены спектральные зависимости разности линейного  $\alpha$  и нелинейного  $\alpha_n$  коэффициентов поглощения  $\delta\alpha = \alpha - \alpha_n$ , которые были вычислены по соответствующим спектрам пропускания  $T_x$  и  $T_n$ . Зависимости  $\delta\alpha$  от  $\hbar\omega$  по крайней мере качественно отражают спектр поглощения насыщающихся переходов и, как видно из рисунков, имеют некоторые общие черты для образцов  $n$ - и  $p$ -типа при различных уровнях легирования. Эти спектры обладают двумя характерными особенностями: в промежуточной области частот света для всех образцов, за исключением наименее легированного материала  $n$ -типа ( $n=6.2 \cdot 10^{16}$  см $^{-3}$ ), отчетливо наблюдается достаточно узкий максимум, а в коротковолновой части спектра происходит монотонное возрастание  $\delta\alpha$ . Наличие максимумов естественно отождествить для образцов  $n$ -типа с оптическими переходами из валентной зоны на доноры, а для образцов  $p$ -типа с переходами акцептор — зона проводимости. Подъем в коротковолновой части спектров  $\delta\alpha$  связан с заметным насыщением межзонных переходов между электронными состояниями вблизи экстремумов валентной зоны и зоны проводимости, а также переходов на флуктуационные уровни. В спектрах  $\alpha_n$  вклад этих переходов подавлен за счет заполнения соответствующих электронных состояний неравновесными носителями (динамический эффект Бурштейна — Месса).

Можно было бы попытаться дать иное объяснение вида спектров  $\delta\alpha$ , например отождествить максимумы с переходами в связанные состояния экситона или с фононной рецликой этих процессов. Однако такое предположение неубедительно по следующим причинам. Во-первых, в наблюдаемых спектрах максимумы расположены на расстоянии 8–20 мэВ от границы прямых межзонных переходов в GaAs (1.41 эВ при 300 К), что существенно больше энергии связи экситона даже для чистого GaAs:  $E_{ex}=4.2$  мэВ [15]. Легирование материала может лишь уменьшить  $E_{ex}$  из-за экранирования равновесными носителями заряда. Во-вторых, фононная рецлика должна отстоять от фундаментального края по крайней мере на энергию оптического фонона  $\hbar\Omega=37$  мэВ, в то время как наблюдаемые максимумы расположены значительно ближе к нему. Иная ситуация наблюдалась для образца  $n$ -типа с концентрацией  $n=6.2 \cdot 10^{16}$  см $^{-3}$ . Хотя и здесь в спектре  $\delta\alpha$  видна особенность, связанная с оптическими переходами валентная зона — донор, она существенно замаскирована другим механизмом поглощения (рис. 3, a). Скорее всего, это длинноволновое крыло переходов в связанное экситонное состояние, которые сопровождаются поглощением акустических фононов. При более высоких уровнях легирования связанные экситонные состояния исчезают или сливаются с дном

зоны проводимости, и переходы типа зона — примесь становятся более отчетливыми.

Спектры  $\delta\alpha(\hbar\omega)$  образцов *n*- и *p*-типа наряду со сходными чертами имеют и важные различия. С ростом уровня легирования в образцах *n*-типа (рис. 3, *a*) наблюдаются слабое смещение спектра  $\delta\alpha(\hbar\omega)$  в коротковолновую область и уменьшение самой величины  $\delta\alpha$ , а для дырочного материала (рис. 3, *b*) наблюдается значительный сдвиг в длинноволновую область с одновременным ростом амплитуды максимума. Сдвиг и трансформация разностных спектров при увеличении уровня легирования обусловлены совместным действием следующих механизмов: а) сужением запрещенной зоны из-за перенормировки одноэлектронных состояний, обусловленной электрон-примесным и электрон-электронным взаимодействиями (длинноволновый сдвиг); б) эффектом Бурштейна—Мосса (коротковолновый сдвиг); в) уменьшением энергии ионизации примеси из-за экранирования примесного потенциала свободными носителями заряда (коротковолновый сдвиг).

Для того чтобы выяснить роль этих механизмов, вернемся к рассмотрению спектров линейного поглощения  $\alpha(\hbar\omega)$  (рис. 2). Как видно из этого рисунка, в образцах *p*-типа главный вклад в смещение  $\alpha(\hbar\omega)$  при увеличении уровня легирования дает сужение запрещенной зоны. Для материала *n*-типа ситуация сложнее, так как с ростом легирования наблюдается незначительный коротковолновый сдвиг  $\alpha(\hbar\omega)$ . Это свидетельствует о преобладании эффекта Бурштейна—Мосса. В условиях наших экспериментов (комнатная температура, указанные выше концентрации свободных носителей заряда) эффект Бурштейна—Мосса не может приводить к большому по величине сдвигу спектра  $\alpha(\hbar\omega)$ . Действительно, при таких условиях свободные носители в разрешенных зонах лишь слабо вырождены, а электронные состояния, между которыми идут межзонные переходы с поглощением оптического фонона ( $\hbar\Omega=37$  мэВ), лежат достаточно глубоко в разрешенных зонах и заняты незначительно. Отсюда следует, что в образцах *n*-типа сужение запрещенной зоны много меньше, чем в материале *p*-типа, а его влияние на спектр  $\alpha(\hbar\omega)$  компенсируется эффектом Бурштейна—Мосса в хвосте плотности состояний у дна зоны проводимости. Столь заметное различие в величине сужения запрещенной зоны для образцов *n*- и *p*-типа можно объяснить только химической природой примеси.

Рассмотрим теперь спектры  $\delta\alpha(\hbar\omega)$  (рис. 3). В материале *p*-типа при увеличении уровня легирования  $\delta\alpha(\hbar\omega)$  смещается в длинноволновую область, а его амплитуда растет. Как и в предыдущем случае, спектральный сдвиг  $\delta\alpha(\hbar\omega)$  определяется в основном сужением запрещенной зоны. Возрастание амплитуды  $\delta\alpha(\hbar\omega)$  связано с увеличением концентрации акцепторных уровней, участвующих в переходах примесь—зона. Для образцов же *n*-типа незначительное смещение максимума  $\delta\alpha(\hbar\omega)$  в коротковолновую область (рис. 3, *a*) объясняется тем, что сужение зоны компенсируется уменьшением энергии ионизации примеси. В данном случае эффект Бурштейна—Мосса не сказывается на положении максимума  $\delta\alpha(\hbar\omega)$ , так как в переходах зона—примесь (валентная зона—донор) участвует зона неосновных носителей. В то же время в материале *n*-типа эффект Бурштейна—Мосса приводит к уменьшению амплитуды  $\delta\alpha(\hbar\omega)$ , так как с ростом концентрации примеси электронные уровни в хвосте плотности состояний у дна зоны проводимости заметно заполняются и насыщение поглощения на переходах с участием этих уровней становится слабее.

В заключение отметим основные результаты работы. Предложен новый метод исследования краевого поглощения легированных полупроводников при комнатной температуре. Он основан на эффекте экранирования электрон-примесного и электрон-электронного взаимодействий неравновесными фотовозбужденными носителями заряда. Экранирование приводит к исчезновению в запрещенной зоне полупроводника связанных экситонных состояний и дискретных уровней, обусловленных отдельными примесными атомами. Данное обстоятельство позволяет, сравнивая спектры линейного и нелинейного поглощения, выделить вклад в полный коэффициент поглощения от этих состояний в запрещенной зоне. Изучение разностных спектров  $\delta\alpha(\hbar\omega)$  дает информацию об энергетическом положении дискретных уровней при переходе от области

слабого к области сильного легирования и о концентрации примеси, при которой эти уровни исчезают. Совместный анализ  $\delta\alpha(\hbar\omega)$  и линейных спектров  $\alpha(\hbar\omega)$  позволяет оценить влияние различных концентрационных эффектов на поглощение света в полупроводнике. Предложенный метод был использован для изучения краевого поглощения света в GaAs *n*- и *p*-типа при комнатной температуре.

#### Список литературы

- [1] Dumke W. P. // Phys. Rev. 1963. V. 132. N 5. P. 1998—2002.
- [2] Williams F. // Phys. St. Sol. 1968. V. 25. N 2. P. 493—512.
- [3] Нокс Р. Теория экситонов. М., 1966. 220 с.
- [4] Dumke W. P. // Phys. Rev. 1957. V. 108. N 6. P. 1419—1425.
- [5] Рыжкин С. М., Гринберг А. А., Крамер Н. И. // ФТТ. 1965. Т. 7. В. 7. С. 2195—2205.
- [6] Berggren K. F., Sernelius B. E. // Phys. Rev. B. 1981. V. 24. N 4. P. 1971—1986.
- [7] Burstein E. // Phys. Rev. 1954. V. 93. N 2. P. 632—641.
- [8] Moss T. E. // Proc. Phys. Soc. 1954. V. B76. N 3. P. 775—782.
- [9] Бонч-Бруевич В. Л. // Физика твердого тела. М., 1965. 129 с.
- [10] Pavese L., Staehli J. L., Capozzi V. // J. Phys. C: Sol. St. Phys. 1988. V. 21. N 8. P. 1485—1495.
- [11] Hulthen L., Laurikainen K. V. // Rev. Mod. Phys. 1951. V. 23. N 1. P. 1—9.
- [12] Rogers F. J., Graboske H. C., Harwood D. J. // Phys. Rev. A. 1970. V. 1. N 6. P. 1577—1586.
- [13] Casey H. C., Sell D. D., Wecht K. W. // J. Appl. Phys. 1975. V. 46. N 1. P. 250—263.
- [14] Casey H. C., Stern F. // J. Appl. Phys. 1976. V. 47. N 2. P. 631—643.
- [15] Sell D. D., Casey H. C., Wecht K. W. // J. Appl. Phys. 1974. V. 45. N 6. P. 2650—2657.

Физико-технический институт  
им. А. Ф. Иоффе АН СССР  
Ленинград

Получена 20.11.1990  
Принята к печати 5.12.1990